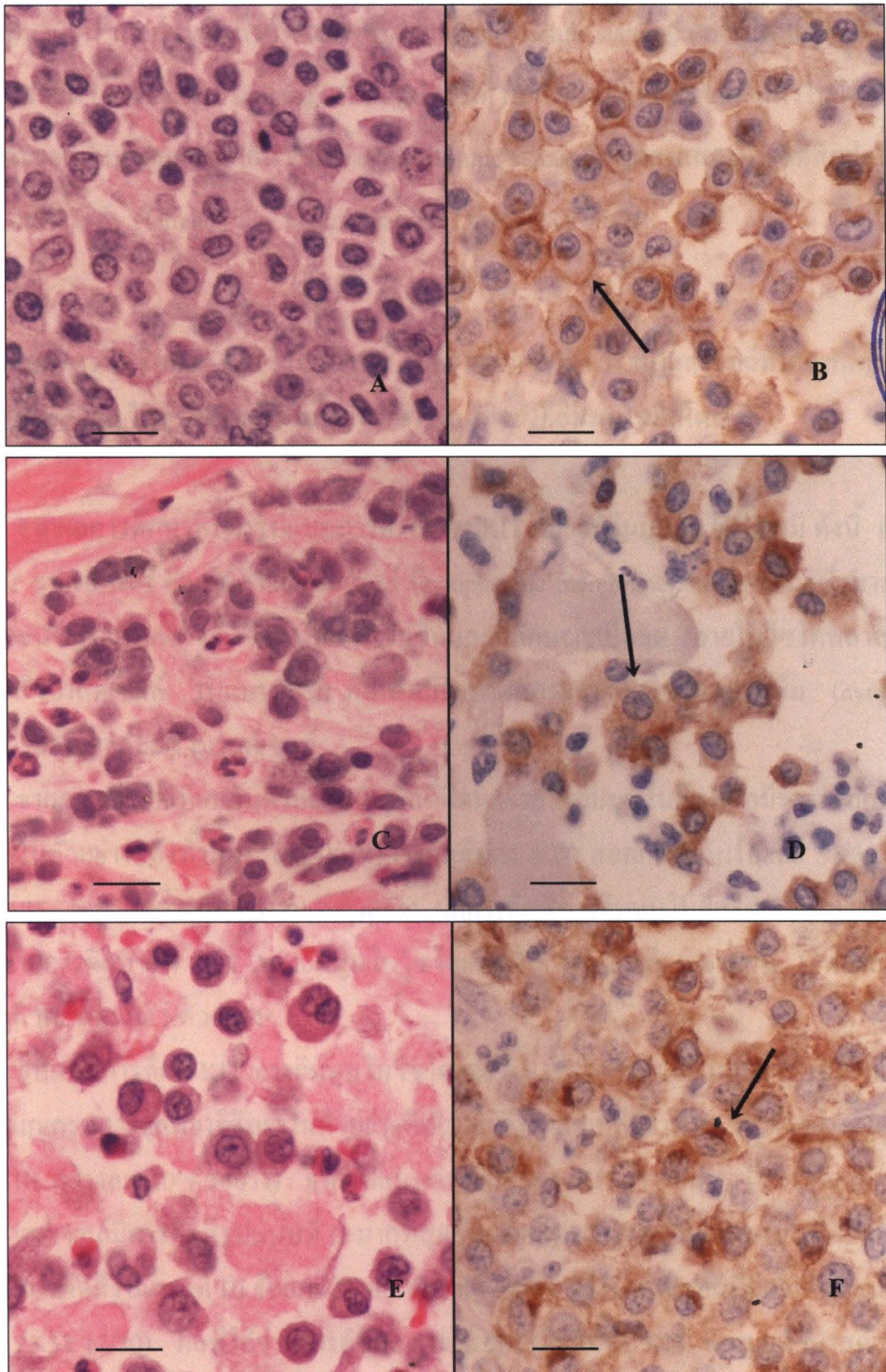


บทที่ 4

ผลการวิจัยและการวิเคราะห์ข้อมูล

4.1 รูปแบบการติดสีของ KIT (CD 117) ในตัวอย่างมะเร็งมาสต์เซลล์ที่ผิวนังในสุนัขทางอินมูน โนฮีสโตเคมี และการจำแนกเกรดทางจุลพยาธิวิทยา

รูปแบบการติดสี KIT ทางอินมูนโนฮีสโตเคมี ได้แก่ รูปแบบที่ I, II และ III เปรียบเทียบ กับการจำแนกเกรดทางจุลพยาธิวิทยาในตัวอย่างที่เป็นมะเร็งมาสต์เซลล์จำนวน 30 ตัวอย่าง เกรดที่ I, II และ III อย่างละ 10 ตัวอย่าง (ภาพที่ 9) รูปแบบการติดสีของ KIT ที่พบในมะเร็งมาสต์เซลล์ เป็นรูปแบบการติดสีแบบที่ II มากที่สุด คือ ร้อยละ 46.66 (14/30) รองลงมาเป็นมะเร็งมาสต์เซลล์ รูปแบบการติดสีแบบที่ III ร้อยละ 33.33 (10/30) และมะเร็งมาสต์เซลล์รูปแบบการติดสีแบบที่ 1 ร้อยละ 20 (6/30) ตามลำดับ ผลจากการจำแนกรูปแบบการติดสีของ KIT ของมะเร็งมาสต์เซลล์โดย วิธีอินมูนโนฮีสโตเคมีสอดคล้องกับผลการแบ่งเกรดจากการจำแนกด้วยวิธีทางจุลพยาธิวิทยา จำนวน 21 ตัวอย่างจาก 30 ตัวอย่าง คิดเป็นร้อยละ 70 (21/30) พบร่วมมะเร็งมาสต์เซลล์เกรด I จากการ จำแนกด้วยวิธีทางจุลพยาธิวิทยา ศึกษาด้วยวิธีอินมูนโนฮีสโตเคมีพบการติดสีของ KIT รูปแบบที่ II จำนวน 3 ตัวอย่าง และรูปแบบที่ III จำนวน 1 ตัวอย่าง ตัวอย่างมะเร็งมาสต์เซลล์เกรด II จากการ จำแนกด้วยวิธีทางจุลพยาธิวิทยา ศึกษาด้วยวิธีอินมูนโนฮีสโตเคมีพบการติดสีของ KIT แบบที่ III จำนวน 3 ตัวอย่าง และตัวอย่างมะเร็งมาสต์เซลล์เกรด III จำแนกด้วยวิธีทางจุลพยาธิวิทยา ศึกษา ด้วยวิธีอินมูนโนฮีสโตเคมีพบการติดสีของ KIT เป็นรูปแบบที่ II จำนวน 1 ตัวอย่าง ไม่สอดคล้อง จำนวน 9 ตัวอย่าง คิดเป็นร้อยละ 30 (9/30)



ภาพที่ 9 การจำแนกเกรดก้อนมะเร็งมาสต์เซลล์ที่ผิวหนังในสุนัข ด้วยวิธีจุลพยาธิวิทยา (Patnaik et al., 1984) H&E มะเร็งมาสต์เซลล์เกรด I (A) เกรด II (C) และ เกรด III (E) และรูปแบบการติดสี KIT (CD 117) ทางอินมูนโนไซส์โโนเคมีของมะเร็งมาสต์เซลล์ มะเร็งมาสต์เซลล์รูปแบบที่ I แสดง การติดสีบริเวณเยื่อหุ้มเซลล์(perimembrane) (B) ; รูปแบบที่ II แสดงการติดสีเข้ามาภายในไซโต

พลาสซึมมากขึ้น บางส่วนติดสีบริเวณเยื่อหุ้มเซลล์(cytoplasmic staining) และเป็นหย่อมบริเวณข้างนิวเคลียส (paranuclear staining) (D) ; รูปแบบที่ III แสดงการติดสีกระจายทั่วในไซโตพลาสซึมและเซลล์มีขนาดแตกต่างกัน (diffuse cytoplasmic staining) ลูกศรแสดงการติดสีรูปแบบต่างๆ EnvisionTM, Hematoxylin counterstained, DAB , Bar= 50 μ m

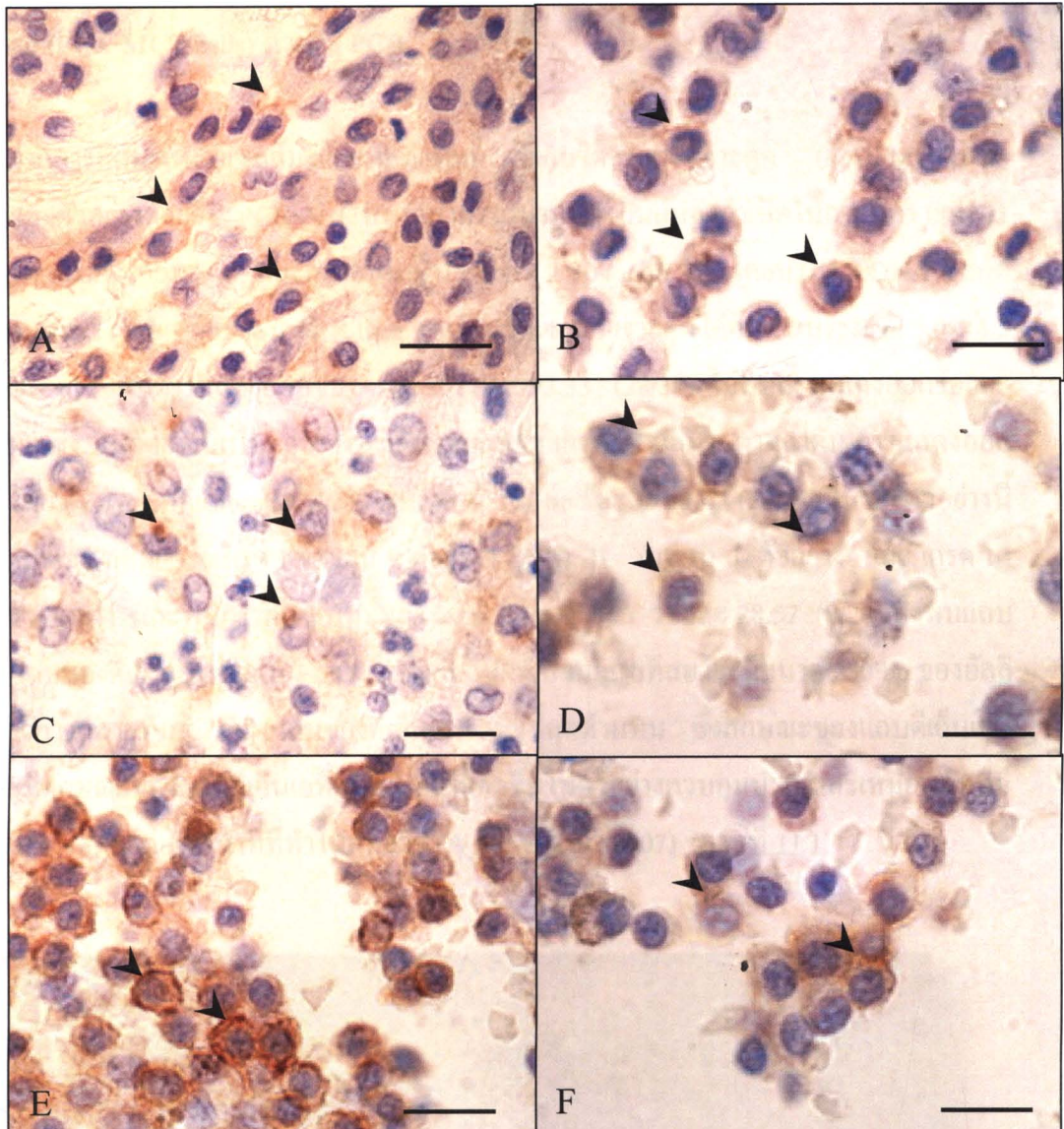
4.2 รูปแบบการติดสีของ KIT (CD117) ในตัวอย่างเซลล์มะเร็งมาสต์เซลล์ที่ได้จากการเจาะดูด (FNA-MCT cells) ในสุนัขด้วยวิธีอิมมูโนไซโตเคมีและวิธีอิมมูโนไฮโดรเจน

จากการศึกษาพบว่ารูปแบบการติดสีของ KIT ด้วยวิธีอิมมูโนไซโตเคมี ดังนี้ การติดสีของ KIT รูปแบบที่ I คือ ติดสีที่เยื่อหุ้มเซลล์ (cytoplasmic membrane) ของเซลล์มะเร็งมาสต์เซลล์ อย่างชัดเจน รูปแบบที่ II คือ ติดสีจะเข้มขึ้นและมีลักษณะเป็นจุด ภายในไซโตพลาสซึมของเซลล์มะเร็งมาสต์เซลล์ รูปแบบที่ III คือ ติดสีการติดสีกระจายทั่วไซโตพลาสซึม (cytoplasmic staining) ของเซลล์มะเร็งมาสต์เซลล์

จากการเปรียบเทียบกับตัวอย่างเนื้อเยื่อที่ศึกษาด้วยวิธีอิมมูโนไฮโดรเจนพบว่า ลักษณะการติดสีในตัวอย่างของห้องส่องวิชีมีรูปแบบการติดสีของ KIT สอดคล้องกันร้อยละ 93.33 (28/30) (ภาพที่ 10) โดยแตกต่างกันจำนวน 2 ตัวอย่าง ผลการติดสีทางอิมมูโนไฮโดรเจนเป็นรูปแบบที่ II จำแนกจากการติดสีของ KIT ทางอิมมูโนไซโตเคมีเป็น รูปแบบที่ I จำนวน 1 ตัวอย่าง และรูปแบบที่ III จำนวน 1 ตัวอย่าง

รูปแบบการติดสี KIT ทางอิมมูโนไซโตเคมี ทั้ง 3 รูปแบบ (I, II และ III) เปรียบเทียบกับการจำแนกเกรดทางจุลพยาธิวิทยาในตัวอย่างที่เป็นมะเร็งมาสต์เซลล์จำนวน 30 ตัวอย่าง (เกรดที่ I, II และ III อย่างละ 10 ตัวอย่าง) จากรูปแบบการติดสีของ KIT ทางอิมมูโนไซโตเคมี ที่พบในมะเร็งมาสต์เซลล์มีการติดสีรูปแบบที่ II มากที่สุด คือ ร้อยละ 40 (12/30) รองลงมาเป็นมะเร็งมาสต์เซลล์ที่มีการติดสีรูปแบบที่ III ร้อยละ 36.66 (11/30) และ มะเร็งมาสต์เซลล์ที่มีการติดสีรูปแบบที่ I ร้อยละ 23.33 (7/30) ผลที่ได้จากการจำแนกรูปแบบการติดสีของ KIT ของมะเร็งมาสต์เซลล์โดยวิธีอิมมูโนไซโตเคมี สอดคล้องกับการแบ่งเกรดของตัวอย่างที่ได้จากการจำแนกด้วยวิธีทางจุลพยาธิวิทยาทั้งหมด 21 ตัวอย่างจาก 30 ตัวอย่าง คิดเป็นร้อยละ 70 (21/30) พนวณว่า มะเร็งมาสต์เซลล์เกรด I จากการจำแนกด้วยวิธีทางจุลพยาธิวิทยา ศึกษาด้วยวิธีอิมมูโนไซโตเคมีได้การติดสีของ KIT เป็นรูปแบบที่ II จำนวน 3 ตัวอย่าง และรูปแบบที่ III จำนวน 1 ตัวอย่าง ตัวอย่างมะเร็งมาสต์เซลล์เกรด II จากการจำแนกด้วยวิธีทางจุลพยาธิวิทยา ศึกษาด้วยวิธีอิมมูโนไซโตเคมีการติดสีของ KIT เป็นรูปแบบที่ III 3 ตัวอย่าง และตัวอย่างมะเร็งมาสต์เซลล์เกรด III จากการจำแนกด้วยวิธีทางจุล

พยาธิวิทยา ศึกษาด้วยวิธีอินมูโนไซโตเคมีการติดสี KIT เป็นรูปแบบที่ I และ รูปแบบที่ II จำนวน 1 ตัวอย่างตามลำดับ ไม่สอดคล้องจำนวน 9 ตัวอย่าง คิดเป็นร้อยละ 30 (9/30)

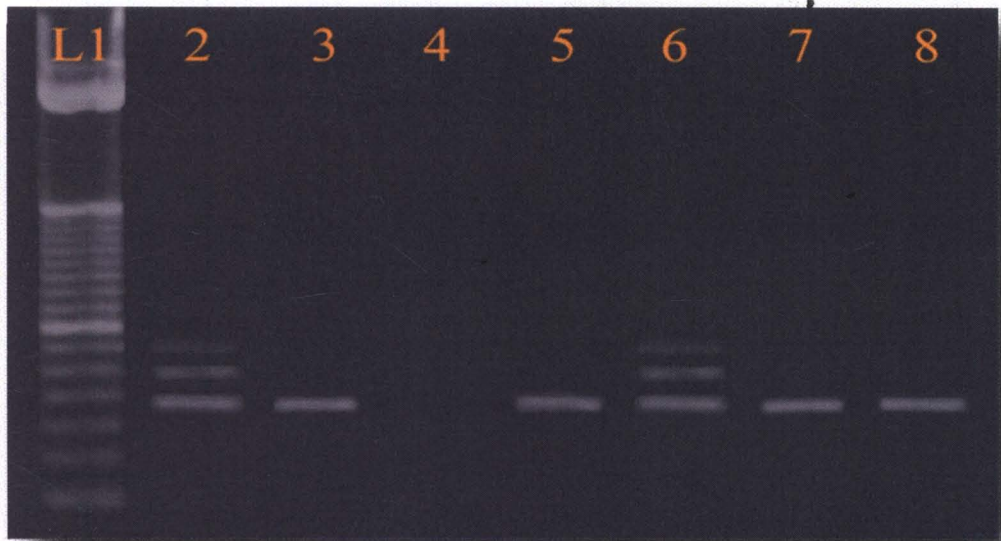


ภาพที่ 10 รูปแบบการติดสี KIT (CD 117) ทางอินมูน โนอีส โตเคมีของมะเร็งมาสต์เซลล์ (A,C,E) และ อินมูน โนอีส โตเคมีจากตัวอย่างเซลล์จากตัวอย่างเซลล์มะเร็งที่ได้จากการเจาะดูด (FNA-MCT cells) (B,D,F) มะเร็งมาสต์เซลล์รูปแบบที่ I แสดงการติดสีบริเวณเยื่อหุ้มเซลล์(perimembrane) (Aและ B) ; รูปแบบที่ II แสดงการติดสีเข้ามาภายในไโซเพลาสซึมมากขึ้นและยังมีบางส่วนติดสีบริเวณเยื่อหุ้มเซลล์(cytoplasmic staining) (C และ D) ; รูปแบบที่ III แสดงการติดสีกระจายทั่วใน

ใช้トイพลาสซีนและเชลล์มีขนาดแตกต่างกัน (diffuse cytoplasmic staining)(E และ F) หัวลูกศร
แสดงการติดสีรูปแบบต่างๆ EnvisionTM, Hematoxylin counterstain, DAB , BAR = 50 μ m

4.3 การแสดงออกขององค์ประกอบใน c-kit และการกลยยพันธุ์ใน Exon 11 ของ c-kit จากเซลล์มะเร็ง �性ต์เซลล์ (FNA-MCT cells) ด้วยวิธี PCR

จากการศึกษาพบว่าเซลล์มะเร็ง�性ต์เซลล์ ที่เก็บได้จากการเจาะคุณ (FNA-MCTcells) จำนวน 30 ตัวอย่างด้วยวิธี PCR นั้น พบว่าสามารถนำมาใช้เป็นแหล่งกำเนิดในการวิเคราะห์การแสดงออกขององค์ประกอบใน c-kit และกลยยพันธุ์ใน Exon 11 ของ c-kit ได้ โดยปริมาณ DNA ที่สักดได้จากเซลล์มะเร็งโดยเฉลี่ยประมาณ $> 1 \mu\text{g}$ จากจำนวนเซลล์ที่เจาะคุณได้ครั้งละประมาณ 3.0 – 4.5 $\times 10^5 \text{ cells/ ml}$ พัฒนาการแสดงออกของ c-kit ร้อยละ 93.33 (28/30) ไม่พัฒนาการแสดงออกครั้งละ 6.67 (2/30) ซึ่ง 2 ตัวอย่างนี้เป็นตัวอย่างมะเร็ง�性ต์เซลล์ เกรด III และ I ตามลำดับ การแสดงออกขององค์ประกอบใน c-kit ปกติ (normal MCT) พัฒนาที่ 191 bp ร้อยละ 71.42 (20/28) ใน 20 ตัวอย่างนี้ เป็นเซลล์มะเร็ง�性ต์เซลล์เกรด I จำนวน 9 ตัวอย่าง เกรด II จำนวน 6 ตัวอย่าง และ เกรด III จำนวน 5 ตัวอย่าง และพัฒนาการกลยยพันธุ์ของ exon 11 ของ c-kit ร้อยละ 28.57 (8/28) ซึ่งพัฒนาแรกเป็นแบบของดีเอ็นเอขนาด 191 bp ของยีนอัลลีปกติ ส่วนแบบที่สองจะมีขนาด 250 bp ของอัลลีของยีนที่มีการกลยยพันธุ์ ส่วนแบบของดีเอ็นเอที่ใหญ่ที่สุดด้านบน ซึ่งลักษณะของแบบดีเอ็นเอที่เกิดขึ้นจะมีลักษณะของแบบดีเอ็นเอที่เหมือนกับที่เกิดขึ้นในตัวอย่างควบคุมบวก และเหมือนกับที่มีรายงานในการศึกษาก่อนหน้าที่ที่ทำในเนื้อเยื่อ (Webster et al., 2007) (ภาพที่ 11)



ภาพที่ 11 แสดงแบบของผลผลิต PCR จากตัวอย่างเซลล์มะเร็งมาสต์เซลล์ที่ผิวหนังในสุนัข ที่ได้จากการเจาะคุณ (FNA-MCT cells) ตัวอย่างเซลล์ในช่อง 5, 7 และ 8 แสดงแบบ DNA ของ normal MCT ที่ 191 bp เปรียบเทียบตัวควบคุมบวก ช่องที่ 3 ส่วนช่องที่ 6 พบรากถ่ายพันธุ์ใน Exon 11 ของ c-kit เปรียบเทียบกับตัวควบคุมบวกช่องที่ 2 (Webster et al., 2007)

ดังนั้นตัวอย่างเซลล์มะเร็งมาสต์เซลล์ที่ได้จากการเจาะคุณ (FNA-MCTcells) สามารถนำมาใช้ศึกษาการแสดงออกขององค์ประกอบ c-kit ได้ และการถ่ายพันธุ์ของ Exon 11 ของ c-kit พบรากถ่ายพันธุ์ในมะเร็งมาสต์เซลล์เกรด II และ III แต่ไม่พบในเกรด I

ตารางที่ 2 ผลการจำแนกเกรดมะเร็งมาสต์เซลล์ที่ผิวหนังในสุนัขทางจุลพยาธิวิทยา รูปแบบการติดสีทางอิมมูน โนเรสโตเคมี และจากตัวอย่างเซลล์มะเร็งมาสต์เซลล์ที่ได้จากการเจาะคุณ (FNA-MCT cells) รูปแบบการติดสีทางอิมมูนโนเรสโตเคมี และ การแสดงออกขององค์ประกอบ c-kit (n=30)

ตัวอย่าง	จำแนกเกรดทางจุลพยาธิวิทยา	รูปแบบการติดสี KIT IHC-MCT	รูปแบบการติดสี KIT ICC-MCT	c-kit Expression
1	1	1	1	1
2	1	1	1	1
3	1	1	1	1
4	1	1	1	1
5	1	1	1	1
6	1	1	1	1
7	1	2	2	1
8	1	2	2	2
9	1	2	2	1
10	1	3	3	1
11	2	2	2	2
12	2	2	2	2
13	2	2	2	1
14	2	2	2	1
15	2	2	2	1

16	2	2	2	1
17	2	2	2	2
18	2	3	3	1
19	2	3	3	-
20	2	3	3	1
21	3	3	3	2
22	3	3	3	2
23	3	3	3	1
24	3	3	3	1
25	3	3	3	1
26	3	3	3	-
27	3	3	3	1
28	3	3	2	1
29	3	2	3	2
30	3	2	1	1

หมายเหตุ

การจำแนกเกรดทางจุลพยาชีวิทยา เกรด I = 1 เกรด II = 2 เกรด III = 3

รูปแบบการติดสี KIT (CD 117) ทางอินมูนโนอีสโตเคมี และ อินมูนโนไซโตเคมี

รูปแบบที่ I = 1 รูปแบบที่ II = 2 รูปแบบที่ III = 3

การแสดงออกของ *c-kit* ในตัวอย่างเซลล์มะเร็งที่ได้จากการเจาะคุด (FNA-MCT cells)

Normal MCT = 1, Mutation in Exon 11 of *c-kit* = 2

4.4 ความสัมพันธ์ของอาการทางคลินิก ผลการตรวจทางพยาชีวิทยาคลินิก โลหิตวิทยา และเคมีเลือด ของสุนัขที่ได้ศึกษา กับเกรดของมะเร็งมาสต์เซลล์

ไม่พบความสัมพันธ์ เนื่องจากอาการทางคลินิก ผลทางโลหิตวิทยา และเคมีเลือดของสัตว์ป่วยแต่ละรายมีความจำเพาะ ในแต่ละราย (ภาคผนวก ก)

4.5 การวิเคราะห์ข้อมูล

ผลการจำแนกรูปแบบการติดสี KIT ของมะเร็งมาสต์เซลล์ด้วยวิธีอินมูโนชีสโตร์เคมี เปรียบเทียบกับการจำแนกเกรดทางจุลพยาธิวิทยาจำนวน 30 ตัวอย่าง พนว่ารูปแบบการติดสี KIT ของมะเร็งมาสต์เซลล์รูปแบบที่ II พบร้อยละ 46.66 (14/30) รองลงมาเป็นรูปแบบที่ III พบร้อยละ 33.33 (10/30) และรูปแบบ I พบร้อยละ 20 (6/30) ตามลำดับ พนว่าจากการจำแนกรูปแบบการติดสี KIT ของมะเร็งมาสต์เซลล์ด้วยวิธีอินมูโนชีสโตร์เคมี มีความสัมพันธ์กับเกรดที่ได้จากการจำแนกด้วยวิธีทางจุลพยาธิวิทยาในทางบวก (สหสัมพันธ์ของสเปียร์แมน; $r = 0.641, P < 0.05$)

ผลการจำแนกรูปแบบการติดสี KIT ของเซลล์มะเร็งมาสต์เซลล์ (FNA-MCT cells) ด้วยวิธีอินมูโนไซโตร์เคมี จากเซลล์มะเร็งที่เก็บโดยวิธีเจาะดูด เทียบกับการจำแนกด้วยวิธีทางจุลพยาธิวิทยา พนว่ารูปแบบการติดสี KIT ของเซลล์มะเร็งมาสต์เซลล์รูปแบบที่ II ร้อยละ 40 (12/30) รองลงมาเป็นรูปแบบที่ III คือ ร้อยละ 36.66 (11/30) และรูปแบบที่ I พบร้อยละ 23.33 (7/30) ตามลำดับ พนว่าการจำแนกรูปแบบการติดสี KIT ของเซลล์มะเร็งมาสต์เซลล์ด้วยวิธีอินมูโนไซโตร์เคมีมีความสัมพันธ์กับการจำแนกด้วยวิธีทางจุลพยาธิวิทยาในทางบวก (สหสัมพันธ์ของสเปียร์แมน; $r = 0.615, P < 0.05$)

ผลการแสดงออกขององค์ประกอบยีน *c-kit* ในเซลล์มะเร็งมาสต์เซลล์ (FNA-MCT cells) โดยวิธี PCR จากตัวอย่างเซลล์ของเนื้องอกมาสต์เซลล์ที่เก็บด้วยวิธีการเจาะดูด จำนวน 30 ตัวอย่าง พน การแสดงออกของ *c-kit* ร้อยละ 93.33 (28/30) โดยพบแถบของ DNA ปกติที่ 191 bp ร้อยละ 71.42 (20/28) จากตัวอย่างเซลล์มะเร็งมาสต์เซลล์เกรด I (9 ตัวอย่าง) เกรด II (6 ตัวอย่าง) และ เกรด III (5 ตัวอย่าง) และพบการกลایพันธุ์ใน Exon 11 ของ *c-kit* พนแถบแรกเป็นแถบของดีเอ็นเอขนาด 191 bp ของยีนอัลลีปักติ ส่วนแถบที่สองจะมีขนาด 250 bp ของอัลลีของยีนที่มีการกลایพันธุ์ ส่วน แถบของดีเอ็นเอที่ใหญ่ที่สุดด้านบน ร้อยละ 28.57 (8/28) ในตัวอย่างเซลล์เนื้องอกมาสต์เซลล์ เกรด II (5 ตัวอย่าง) และ เกรด III (3 ตัวอย่าง) ตามลำดับ ดังนั้นตัวอย่างเซลล์เนื้องอกมาสต์เซลล์ ที่ได้จากการเจาะดูดสามารถศึกษาการแสดงออกขององค์ประกอบยีน *c-kit* ได้ และการกลัยพันธุ์ใน Exon 11 ของ *c-kit* พนในก้อนเนื้องอกมาสต์เซลล์เกรด II และ III แต่ไม่พนในเกรด I

อาการทางคลินิก พลางโอลิทิวิทยาและเคมีเลือดของสัตว์ป่วยแต่ละราย มีความจำเพาะ ในแต่ละราย ไม่พนความสัมพันธ์กับเกรดของมะเร็งมาสต์เซลล์ที่ศึกษา